



## بررسی بیوانفورماتیکی لینالول سنتاز در گیاه *Rosa rugose* و چند گیاه دیگر

هدی السادات عقیلی<sup>۱\*</sup>، حسین مرادی<sup>۲</sup>

<sup>۱</sup>دانشجوی کارشناسی ارشد باگبانی- بیوتکنولوژی و ژنتیک مولکولی، دانشگاه علوم کشاورزی و منابع طبیعی ساری، ساری

<sup>۲</sup>عضو هیئت علمی (استادیار)، گروه باگبانی دانشگاه علوم کشاورزی و منابع طبیعی ساری، ساری

\*نویسنده مسئول: [Hoda\\_aaghili@yahoo.com](mailto:Hoda_aaghili@yahoo.com)

چکیده

لينالول از جمله منوترين های طبیعی و ترکیبی با بوی معطر که با دارا بودن خواص آروماترایپی برای انسان، در صنایع آرایشی- بهداشتی و پزشکی استفاده فراوانی دارند. ژن کدکننده سنتز آنزیمی لینالول در چندین خانواده گیاهی توالی یابی شده است. هدف از این پژوهش بررسی بیوانفورماتیکی توالی های پروتئینی لینالول سنتاز می باشد. نخست از پایگاه اطلاعاتی NCBI، توالی های پروتئینی لینالول سنتاز مربوط به این گونه ها دریافت شد؛ سپس همردیفی توالی ها، با نرم افزار CLC Genomics Workbench5.5.2 صورت گرفت. همچنین جهت تعیین ارتباط فیلولوژنیک بین گیاهان مورد بررسی، درخت فیلولوژنی این پروتئین ها رسم شد. نتایج نشان داد که طول این پروتئین در میان گیاهان بررسی شده در محدوده ۴۲۸ - ۸۷۱ اسید آمینه می باشند. بیشترین وزن مربوط به *Clarkia concinna* کمترین وزن مربوط به *Rosa rugose* و نقطه ایزووالکتریک این پروتئین در محدوده ۵/۵ - ۶/۸۵ و محدوده شاخص آلیفاتیک در محدوده ۸۱/۹۱۶ تا ۹۰/۶۷۸ می باشد، بیشترین شاخص آلیفاتیک مربوط به *Solanum lycopersicum* است. بنابراین نزدیکی بین جنس ها نشان دهنده قابلیت حفظ شدگی بالای این منطقه یا دومین در نسل های متفاوت می باشد.

کلمات کلیدی: بیوانفورماتیک، شاخص آلیفاتیک، لینالول سنتاز، نقطه ایزووالکتریک

### مقدمه

متabolیت های ثانویه در گیاهان به سه گروه اصلی تقسیم می شوند: ۱) ترپن ها ۲) فل ها ۳) آلkalوئیدها (Rispail *et al.*, 2005). همه ترپنoidها از اتصال واحد های ایزوپنیتیل دی فسفات (IDP) و ایزومر آلیلی آن دی متیلآلیل دی فسفات (DMADP) سنتز می شوند (Cheng *et al.*, ۲۰۰۷). معمولاً ترپنoidها بر اساس تعداد واحد های ایزوپرنوئید موجود در ساختارشان به چندین دسته از جمله مونوترپنoidها، دی ترپنoidها، تری ترپنoidها، سزکوئی ترپنoidها تقسیم می شوند (Cseke *et al.*, ۱۹۹۸).

مونوترپن ها، یکی از مهمترین گروه ترپن ها است. لینالول (C10H18O) یک مونوترپن طبیعی است که در گیاهان توسط لینالول سنتاز از پیش ساز عمومی مونوترپن ها یعنی ژرانیل دی فسفات تولید می شود (الیاسی و مجدى، ۱۳۹۲). لینالول ترکیبی با بوی معطر بوده که در بسیاری از گل ها و گیاهان معطر یافت می شود و به دلیل بوی معطر، در ساخت ۷۰%-۶۰٪ از مواد بهداشتی و پاک کننده ها مانند صابون ها و لوسيون ها مورد استفاده قرار می گیرد، همچنین سبب جذب حشره های گرد ها فشان شده و دارای خواص آروماترایپی برای انسان است (جاودان اصل و همکاران، ۱۳۹۳). ژن لینالول سنتاز در بسیاری از گونه های گیاهی مانند درمنه (*Malus domestica*) (Iijima *et al.*, 2004)، سیب (Jia *et al.*, ۱۹۹۹)، ریحان (Ocimum basilicum) (Nieuwenhuizen *et al.*, ۲۰۱۳)، آرابیدوپسیس (Arabidopsis thaliana) (Aubourg *et al.*, ۲۰۰۴)، آراییدوپسیس (Nieuwenhuizen *et al.*, ۲۰۰۴) و چند گیاه دیگر به منظور مطالعه با استفاده از نرم افزارها و روش های بیوانفورماتیکی رابطه تکاملی این ژن بین گیاه *Rosa rugose* و چند گیاه دیگر به منظور بررسی میزان شباهت ها و شناسایی نواحی حفظ شده، دومین ها و خانواده پروتئینی آن مورد بررسی قرار گرفت.

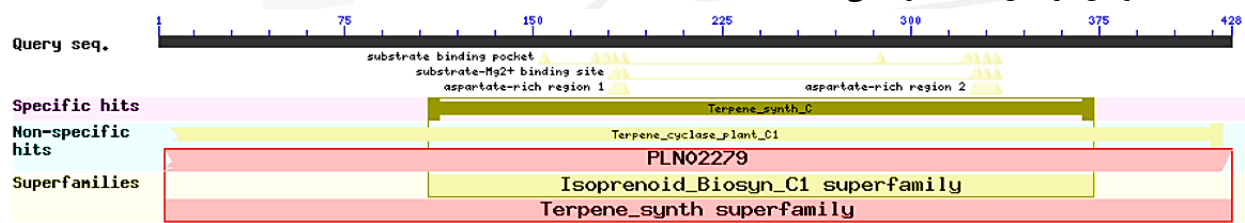
## مواد و روش

توالی‌های کامل آمینواسیدی لینالول مربوط به گیاه *Rosa rugose* و چند گیاه دیگر از پایگاه اطلاعاتی NCBI یافت شد. پروتئین‌های لینالول‌سنتمار مربوط به گیاهان مورد نظر با فرمت FASTA دریافت شد. دامنه‌ها و موقعیت‌های مشابه لینالول از قسمت Conserved domains NCBI بدست آمد. همچنین از پایگاه اطلاعاتی ClustalO (http://www.uniprot.org/align) و با برنامه uniprot (http://www.uniprot.org/uniprot) این موقعیت‌ها بدست آمد.

توالی‌های بدست‌آمده برای بررسی بیشتر و مقایسه با یکدیگر با استفاده از نرم‌افزار CLC Genomics Workbench 5.5.2 مورد تجزیه و تحلیل قرار گرفته و جدول مشخصات آن‌ها رسم گردید. درخت فیلوجنی مربوط به این توالی‌ها با استفاده از نرم‌افزار Neighbor-joining و با روش Mega 7 رسم شد.

## نتایج و بحث

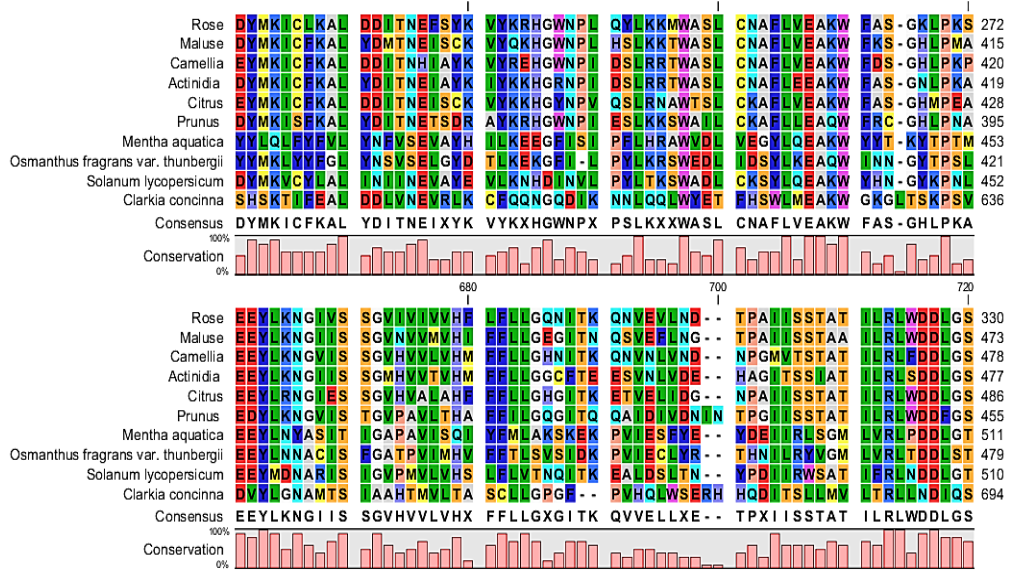
در بررسی‌های حاصل از بلاست (شکل ۱) مشخص شد که لینالول‌سنتمار بیشترین حفظ‌شدگی را با دومین‌های ترپن‌سیکلاز گروه یک و آنزیم‌های سنتز کننده ترپن دارد. ترپن‌سیکلازهای گروه یک دارای دومین حفظ شده می‌باشد که شامل یک گروه متنوع از ترپن‌سیکلازهای گیاهی مونومریک می‌باشد که ژرانیل‌دی‌فسفات را به مونوتترپن‌ها، فارنسیل‌دی‌فسفات را به سزکویی‌ترپن‌ها و ژرانیل‌ژرانیل‌دی‌فسفات را به دی‌ترپن‌ها تبدیل می‌کند. همچنین بررسی فیلوجنی آنزیم لینالول‌سنتمار در ۱۰ خانواده گیاهی در این پژوهش نشان داد که این آنزیم در خانواده Rosaceae روابط فیلوجنی نزدیکتری با خانواده‌های Rutaceae، Theaceae، Actinidiaceae دارد که این موضوع نشان دهنده درجه بالای حفظ‌شدگی این پروتئین‌ها در بین‌ابین خانواده‌ها می‌باشد (شکل ۴). نتایج حاصل از نرم‌افزار CLC Genomics Workbench 5.5.2 (جدول ۱) نشان داد که طول این پروتئین در میان گیاهان بررسی شده در این پژوهش ۸۷۱ – ۴۲۸ اسید‌آمینه است. بیشترین وزن مربوط به *Clarkia concinna*، کمترین وزن مربوط به *Rosa rugose* و نقطه ایزوالکتریک این پروتئین در محدوده ۶/۸۵ – ۵/۵ می‌باشد. محدوده شاخص آلیفاتیک که به عنوان یک عامل مثبت برای افزایش مقاومت حرارتی است در محدوده ۸۱/۹۱۶ تا ۹۶/۰۵۹ قرار دارد که بیشترین شاخص آلیفاتیک مربوط به *Solanum lycopersicum* است. بررسی فیلوجنی لینالول‌سنتمار در بین گیاهان مورد بررسی نشان داد که این آنزیم بیشترین نزدیکی را به *Malus domestica* دارد (شکل ۴). همچنین نتایج حاصل از هم‌ردیفی نشان داد که این آنزیم از حفظ‌شدگی بالایی برخوردار است (شکل ۳). نتایج حاصل از بلاست در حقیقت وجود نواحی مشابهی را در خانواده‌های Rosaceae، Theaceae، Actinidiaceae و Rutaceae مشخص نمود؛ که در حقیقت این نواحی پس از ترسیم دندوگرام‌ها نشان دادند که دارای میزان اسید‌آمینه ۴۲۸ – ۸۷۱ و در بررسی‌های فیلوجنی نزدیکی بین جنس‌های داخل خانواده را نشان داد. بنابراین نزدیکی بین جنس‌ها نشان دهنده قابلیت حفظ‌شدگی بالای این منطقه یا دومین در نسل‌های متفاوت می‌باشد.



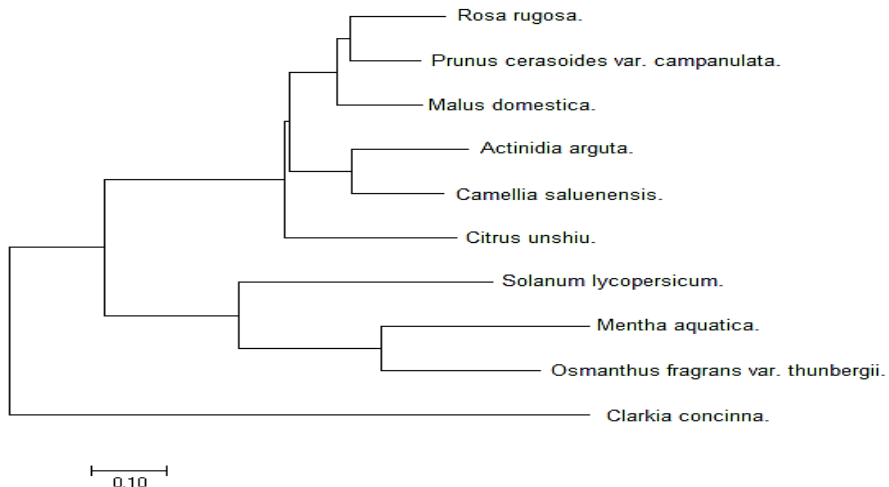
شکل ۱- دومین‌های حفظ شده لینالول‌سنتمار موجود در گیاه *Rosa rugose*

H6UQ81	H6UQ81_ROSRU	92	FFVTISQ-----INTWLNLK <b>EVRKTDFSMVQSLHQNEIVQISKWWKELELIA</b>	138
L017G3	L017G3_MALDO	233	FFVSSFQGT-----NNRWLNILQ <b>EVTKTLDMVQSLHQKEVAQSKWWKELELIC</b>	281
A0A068B6C1	A0A068B6C1_9ROSA	242	FFATNSRGT-----NNRWLNILQ <b>EVTKTLDMVQSLHQKEIVQISKWWKELELIA</b>	290
Q1XB5U	Q1XB5U_SOLLC	243	YISIYE-R-----MSNANPILL <b>EVKLFLIVVQATHQDRLRILSRRWKNTLIA</b>	318
A0A140KFH3	A0A140KFH3_9ERIC	240	FLSDK-N-----PSEWENVLQ <b>EVKMFLIVVQFTKQHEILQYSKWWKDGLIA</b>	286
A0A097ZLN9	A0A097ZLN9_CITUN	248	VFLSNFOGE-----RRLHVL <b>EVKMFLIVVQFTKQHEILQYSKWWKDGLIA</b>	294
D4N3A0	D4N3A0_ACTAR	239	FNYDCK-G-----QNGWVNNTQ <b>EVKMFLIVVQFTKQHEILQYSKWWGRGELA</b>	285
COKY88	COKY88_9LAMI	240	FLDMYEKQD-----RHDMNQV <b>EVKMFLIVVQFTKQHEILQYSKWWVESELIP</b>	288
Q9ZPN5	Q9ZPN5_CLACO	446	WIEEIASGALWFKGKSYSLRLSCLHKL <b>EVQAVKNTYLRUSVYRDELAVERNSKERBEC</b>	505
H6UQ81	H6UQ81_ROSRU	139	KELKEA <b>NDQPLKRWYIWAMA</b> CLIDDPKLS <b>KEERVELIPI</b> SFIYLIDDI <b>DENG</b> LD <b>ELILELT</b>	198
L017G3	L017G3_MALDO	282	KELKEA <b>NDQPLKRWYIWAMA</b> CLIDDPKLS <b>KEERVELIPI</b> SFIYLIDDI <b>DENG</b> YLD <b>ELILELT</b>	341
A0A068B6C1	A0A068B6C1_9ROSA	241	KELKEA <b>NDQPLKRWYIWAMA</b> CLIDDPKLS <b>KEERVELIPI</b> SFIYLIDDI <b>DENG</b> YLD <b>ELILELT</b>	350
Q1XB5U	Q1XB5U_SOLLC	319	KELKEA <b>NDQPLKRWYIWAMA</b> CLIDDPKLS <b>KEERVELIPI</b> SFIYLIDDI <b>DENG</b> YLD <b>ELILELT</b>	378
A0A140KFH3	A0A140KFH3_9ERIC	287	SPK <b>PLKRWYIWAMA</b> CLIDDPKLS <b>KEERVELIPI</b> SFIYLIDDI <b>DENG</b> YLD <b>ELILELT</b>	346
A0A097ZLN9	A0A097ZLN9_CITUN	295	SPK <b>PLKRWYIWAMA</b> CLIDDPKLS <b>KEERVELIPI</b> SFIYLIDDI <b>DENG</b> YLD <b>ELILELT</b>	354
D4N3A0	D4N3A0_ACTAR	286	ELK <b>PLKRWYIWAMA</b> CLIDDPKLS <b>KEERVELIPI</b> SFIYLIDDI <b>DENG</b> YLD <b>ELILELT</b>	345
COKY88	COKY88_9LAMI	289	ELK <b>PLKRWYIWAMA</b> CLIDDPKLS <b>KEERVELIPI</b> SFIYLIDDI <b>DENG</b> YLD <b>ELILELT</b>	348
Q9ZPN5	Q9ZPN5_CLACO	506	ELK <b>PLKRWYIWAMA</b> CLIDDPKLS <b>KEERVELIPI</b> SFIYLIDDI <b>DENG</b> YLD <b>ELILELT</b>	564
H6UQ81	H6UQ81_ROSRU	199	EA <b>NRNNDITA</b> D <b>DHLPDYMP</b> I <b>CKLKA</b> DD <b>DITNEFS</b> Y <b>KVYKRG</b> WNPLQ <b>YK24</b> ASLCNA <b>ART</b>	258
L017G3	L017G3_MALDO	342	EA <b>NRNNDITA</b> E <b>HLHPDYM</b> P <b>CKFKA</b> DD <b>DITNEFS</b> Y <b>KVYKRG</b> WNPLHS <b>RK14</b> ASLCNA <b>ART</b>	401
A0A068B6C1	A0A068B6C1_9ROSA	351	EA <b>NRNNDITA</b> E <b>HLHPDYM</b> P <b>CKFKA</b> DD <b>DITNEFS</b> Y <b>KVYKRG</b> WNPLHS <b>RK14</b> ASLCNA <b>ART</b>	410
Q1XB5U	Q1XB5U_SOLLC	379	EA <b>NRNNDITA</b> E <b>HLHPDYM</b> P <b>CKFKA</b> DD <b>DITNEFS</b> Y <b>KVYKRG</b> WNPLHS <b>RK14</b> ASLCNA <b>ART</b>	438
A0A140KFH3	A0A140KFH3_9ERIC	347	EA <b>NRNNDITA</b> E <b>HLHPDYM</b> P <b>CKFKA</b> DD <b>DITNEFS</b> Y <b>KVYKRG</b> WNPLHS <b>RK14</b> ASLCNA <b>ART</b>	406
A0A097ZLN9	A0A097ZLN9_CITUN	355	ET <b>TTRNDLAAMGOLPYM</b> I <b>CKFKA</b> DD <b>DITNEFS</b> Y <b>KVYKRG</b> WNPLQ <b>YK24</b> ASLCNA <b>ART</b>	414
D4N3A0	D4N3A0_ACTAR	346	DA <b>NRNNDITA</b> E <b>HLHPDYM</b> P <b>CKFKA</b> DD <b>DITNEFS</b> Y <b>KVYKRG</b> WNPLHS <b>RK14</b> ASLCNA <b>ART</b>	405
COKY88	COKY88_9LAMI	349	EN <b>FRNNDLTA</b> E <b>HLHPDYM</b> P <b>CKFKA</b> DD <b>DITNEFS</b> Y <b>KVYKRG</b> WNPLHS <b>RK14</b> ASLCNA <b>ART</b>	407
Q9ZPN5	Q9ZPN5_CLACO	565	DA <b>NRNNDITA</b> E <b>HLHPDYM</b> P <b>CKFKA</b> DD <b>DITNEFS</b> Y <b>KVYKRG</b> WNPLHS <b>RK14</b> ASLCNA <b>ART</b>	621
H6UQ81	H6UQ81_ROSRU	259	VEAKWFA <b>S-GKLPKNS</b>	317
L017G3	L017G3_MALDO	402	VEAKWFA <b>S-GKLPKNS</b>	460
A0A068B6C1	A0A068B6C1_9ROSA	411	VEAKWFA <b>S-GKLPKNS</b>	469
Q1XB5U	Q1XB5U_SOLLC	439	VEAKWFA <b>S-GKLPKNS</b>	497
A0A140KFH3	A0A140KFH3_9ERIC	407	VEAKWFA <b>S-GKLPKNS</b>	465
A0A097ZLN9	A0A097ZLN9_CITUN	415	VEAKWFA <b>S-GKLPKNS</b>	473
D4N3A0	D4N3A0_ACTAR	406	VEAKWFA <b>S-GKLPKNS</b>	464
COKY88	COKY88_9LAMI	408	VEAKWFA <b>S-GKLPKNS</b>	466
Q9ZPN5	Q9ZPN5_CLACO	622	VEAKWFA <b>S-GKLPKNS</b>	681
H6UQ81	H6UQ81_ROSRU	318	TATI <b>RLWDDLGSAKDENOD</b> E <b>DENDGSYVRC</b> LE <b>HQGCSIEEARE</b> K <b>TVNMLQ</b> <b>SDEWK1</b> NRE	377
L017G3	L017G3_MALDO	461	TATI <b>RLWDDLGSAKDENOD</b> E <b>DENDGSYVRC</b> LE <b>HQGCSIEEARE</b> K <b>TVNMLQ</b> <b>SDEWK1</b> NRE	520
A0A068B6C1	A0A068B6C1_9ROSA	470	AA <b>RLWDDLGSAKDENOD</b> E <b>DENDGSYVRC</b> LE <b>HQGCSIEEARE</b> K <b>TVNMLQ</b> <b>SDEWK1</b> NRE	529
Q1XB5U	Q1XB5U_SOLLC	498	AA <b>RLWDDLGSAKDENOD</b> E <b>DENDGSYVRC</b> LE <b>HQGCSIEEARE</b> K <b>TVNMLQ</b> <b>SDEWK1</b> NRE	556
A0A140KFH3	A0A140KFH3_9ERIC	466	TA <b>TFRNDLNGGSSDCL</b> E <b>RDGVSISQ</b> Y <b>GAESEE</b> - <b>HIEFL</b> <b>ETIWL</b> A <b>MNTIA</b>	523
A0A097ZLN9	A0A097ZLN9_CITUN	474	TA <b>TFRNDLNGGSSDCL</b> E <b>RDGVSISQ</b> Y <b>GAESEE</b> - <b>HIEFL</b> <b>ETIWL</b> A <b>MNTIA</b>	533
D4N3A0	D4N3A0_ACTAR	465	TA <b>TFRNDLNGGSSDCL</b> E <b>RDGVSISQ</b> Y <b>GAESEE</b> - <b>HIEFL</b> <b>ETIWL</b> A <b>MNTIA</b>	524
COKY88	COKY88_9LAMI	477	VG <b>MLVPLVSGGEMER</b> S <b>YLYFGVYNSVSEIGYDTLKEGF</b> - <b>ILPYK</b> <b>KRSWEDLIDS</b> <b>RTRASL</b>	525
Q9ZPN5	Q9ZPN5_CLACO	682	LM <b>MLVPLVSGGEMER</b> S <b>YLYFGVYNSVSEIGYDTLKEGF</b> - <b>ILPYK</b> <b>KRSWEDLIDS</b> <b>RTRASL</b>	740

شکل ۲- دومینها [تشابه] بین پروتئین لینالول سنتاز در گیاه *Citrus* (L017G3) *Malus domestica* (H6UQ81) *Rosa rugose* (Q1XB5U) *Prunus* (D4N3A0) *Actinidia arguta* (A0A140KFH3) *Camellia saluenensis* (A0A097ZLN9) *ushiu* (COKY88) *Osmanthus fragrans* var. *thunbergii* (Q9ZPN5) *Clarkia concinna* (A0A068B6C1) *cerasoides* var. *campanulata*



شکل ۳- قسمتی از نواحی حفظ شده حاصل از همدیفی توالی‌های لینالول سنتاز در گیاهان مورد بررسی با استفاده از نرم‌افزار CLC Genomics Workbench5.5.2



شکل ۴- درخت فیلوزنی مربوط به پروتئین لینالول سنتاز در گیاه *Rosa rugose* و چند گیاه دیگر

جدول ۱- خصوصیات مهم لینالول سنتاز (طول بر حسب اسید آمینه و وزن بر حسب کیلو دالتئن می باشد)

نام گونه	طول	وزن	نقشه ایزوکتریک	شاخص آلیاتیک
<i>Rosa rugose</i>	۴۲۸	۴۹	۵/۸۷	۹۰/۶۷۸
<i>Malus domestica</i>	۵۶۷	۶۴/۶۰۷	۵/۹۴	۸۷/۳۷۲
<i>Citrus ushiu</i>	۵۸۸	۶۷/۳۹	۶/۷۴	۸۶/۱۲۲
<i>Camellia saluenensis</i>	۵۷۵	۶۶/۰۶۷	۶/۲۸	۸۴/۶۰۹
<i>Actinidia arguta</i>	۵۷۴	۶۶/۱۱۹	۵/۸۶	۸۱/۹۱۶
<i>Mentha aquatica</i>	۶۰۶	۷۰/۵۳۴	۵/۸۳	۸۹/۸۱۸
<i>Prunus cerasoides</i>	۵۶۱	۶۴/۵۲۶	۵/۶۳	۹۰/۰۷۱
<i>Clarkia concinna</i>	۸۷۱	۹۹/۵۸۷	۶/۸۵	۸۹/۲۰۸
<i>Osmanthus fragrans</i>	۵۷۶	۶۷/۲۹۲	۵/۵	۸۶/۸۵۸
<i>Solanum lycopersicum</i>	۶۰۹	۷۰/۹۴۴	۶/۴۴	۹۶/۰۵۹

#### منابع

- Aubourg, S., Lecharny, A. and Bohlmann, J. (2002). Genomic analysis of the terpenoid synthase (AtTPS) gene family of *Arabidopsis thaliana*. Molecular Genetics and Genomics, 267(6): 730-745.
- Alyasy.r., Majdi. M., Linalool synthase 1392. bioinformatic study on the Lamiaceae and several other plant family. The Second National Congress of organic and conventional farming. Researcher University of Ardabil. (in Persian).
- Cheng, A.X., Lou, Y.G., Mao, Y.B., Lu, S., Wang, L.J and Chen, X.Y. (2007). Plant terpenoids: biosynthesis and ecological functions, Journal of Integrative Plant Biology, 49(2): 179-186.
- Cseke, L., Dudareva, N. and Pichersky, E. (۱۹۹۸). Structure and evolution of linalool synthase. Molecular Biology and Evolution, 15(11): 1491-1498.
- Iijima, Y., Gang, D.R., Fridman, E., Lewinsohn, E. and Pichersky, E. (2004). Characterization of geraniol synthase from the peltate glands of sweet basil. Plant Physiology, 134(1): 370-379.
- Javedan Asl, M., Rajabi Memari, Hamid., Nabati Ahmadi, Daryoosh., and Rahnama Ghahfarokhi. Afrasiyab. 1393. Isolation of Linalool Synthase and Pinene Synthase Genes from Yarrow (*Achillea millefolium* L.) Medicinal Plant. Plant genetic research. Volume 2. (1). (in Persian).
- Jia, J.W., Crock, J., Lu, S., Croteau, R. and Chen, X.Y. (1999). (3R)-Linalool synthase from *Artemisia annua* L.: cDNA isolation, characterization, and wound induction. Archives of Biochemistry and Biophysics, 372(1): 143-149.
- Nieuwenhuizen, N.J., Green, S.A., Chen, X., Bailleul, E.J., Matich, A.J., Wang, M.Y. and Atkinson, R.G. (2013). Functional genomics reveals that a compact terpene synthase gene family can account for terpene volatile production in Apple. Plant Physiology, 161(2): 787-804



## Evaluation Bioinformatic of Linalool Synthase In the Plant Rosa Rugose and Several other Plant

Hoda Aghili<sup>1\*</sup>, Hossein Moradi<sup>2</sup>

<sup>1</sup> Graduate Student Institute of sari University of Agricultural Sciences and Natural Resources

<sup>2</sup> Assistant professor of sari University of Agricultural Sciences and Natural Resources

\*Corresponding Author: [Hoda.aghili@yahoo.com](mailto:Hoda.aghili@yahoo.com)

### Abstract

The Linalool is one of the economically valuable very, monoterpenes that is used in cosmetics-health. The coding gene of this enzyme is plants Several plant families has been sequenced. The aim of this research is bioinformatic study of protein sequences of this gene. First, protein sequences of linalool synthase of this kinds has been received, from NCBI database<sup>1</sup> then the sequence alignment has been clone, with the software, CLC Genomics Workbench <sup>۵/۵/۲</sup> took place. The Phylogenetic tree of these proteins has drawn. The results showed that the length of this protein through plants is 428 – 871 amino acid. Highset weight is for *Clarkia concinna*, lowest weight is for *Rosa rugose* and Isoelectric point of this protein is in range of 6.85 - 5.5 and Aliphatic Index is in range of 81.916 to 90.678. Highset Aliphatic Index is for *Solanum lycopersicum*. Therefore, the similarity between the genuses indicates the ability to conservation this region or the domain in different generations.

Keywords: bioinformatic, aliphatic index, linalool synthase, isoelectric point